

БАНКИ ФИЛЬТРОВ И ФРЕЙМЫ*

В. А. Жёлудев

В. Н. Малозёмов

А. Б. Певный

zhel@post.tau.ac.il

malv@gamma.math.spbu.ru

pevnyi@syktsu.ru

30 марта 2006 г.

Предлагается общий метод построения фреймов в пространстве дискретных периодических сигналов чётной размерности $N = 2N_1$, состоящих из mN_1 сигналов при $m > 2$. Метод основан на использовании банков фильтров совершенной реконструкции. В качестве приложения при $m = 3$ на базе фильтров Баттерворта построено новое семейство вещественных фреймов. Найдены точные границы таких фреймов.

1. ВВЕДЕНИЕ

В статье будут использоваться следующие обозначения:

\mathbb{C}_N — пространство сигналов (комплекснозначных N -периодических функций целочисленного аргумента $x = x(j)$, $j \in \mathbb{Z}$),

$\langle x, y \rangle = \sum_{j=0}^{N-1} x(j) \overline{y(j)}$ — скалярное произведение сигналов x и y ,

$\omega_N = \exp(2\pi i/N)$ — корень N -й степени из единицы,

\mathcal{F}_N — дискретное преобразование Фурье (ДПФ) порядка N , сопоставляющее сигналу x сигнал $X = \mathcal{F}_N(x)$ с компонентами

$$X(k) = \sum_{j=0}^{N-1} x(j) \omega_N^{-kj}, \quad k \in \mathbb{Z}.$$

* Санкт-Петербургский городской семинар «Всплески (wavelets) и их приложения». Секция «Дискретный гармонический анализ»: <http://www.math.spbu.ru/user/dmp/dha/>

Система сигналов $\varphi_1, \varphi_2, \dots, \varphi_M$, $M \geq N$, называется *фреймом*, если существуют положительные числа A, B такие, что для всех $x \in \mathbb{C}_N$

$$A \|x\|^2 \leq \sum_{i=1}^M |\langle x, \varphi_i \rangle|^2 \leq B \|x\|^2.$$

Константы A, B называются *границами фрейма*. Начальные сведения о фреймах имеются в [1, 2].

Иницирующими для нас были работы [3, 4], где строились фреймы в пространстве $\ell^2(\mathbb{Z})$. Но для дискретного гармонического анализа представляет интерес и N -периодический случай. При построении фреймов в \mathbb{C}_N может быть использован эффективный аппарат дискретного преобразования Фурье [5].

Одним из важных источников, приводящих к фреймам, являются банки фильтров совершенной реконструкции. О них пойдёт речь в разд. 2. Особенность периодического случая состоит в том, что фильтры задаются своими частотными характеристиками. На основе результатов разд. 2 в разд. 3 строятся пары двойственных фреймов. В разд. 4 как частный случай строится семейство вещественных фреймов Баттерворта, которые могут найти применение в цифровой обработке сигналов. Для таких фреймов найдены точные границы.

2. БАНКИ ФИЛЬТРОВ

2.1. Следуя основополагающей статье [3], рассмотрим банк из m фильтров анализа и m фильтров синтеза, где $m > 2$. Но в отличие от [3], будем предполагать, что все сигналы и фильтры являются N -периодическими. Считаем также, что N – чётное число, $N = 2N_1$.

Начнём с m фильтров анализа $\tilde{g}_0, \tilde{g}_1, \dots, \tilde{g}_{m-1}$ из \mathbb{C}_N , которые, действуя на сигнал $x \in \mathbb{C}_N$, выдают m сигналов d_0, d_1, \dots, d_{m-1} из \mathbb{C}_{N_1} , таких, что их ДПФ $D_i = \mathcal{F}_{N_1}(d_i)$ связаны с ДПФ $X = \mathcal{F}_N(x)$ сигнала x формулой

$$D_i(k) = \frac{1}{2} \left[\overline{\tilde{g}_i(k)} X(k) + \overline{\tilde{g}_i(k + N_1)} X(k + N_1) \right], \quad (2.1)$$

$$k \in 0 : N_1 - 1, \quad i = 0, 1, \dots, m - 1.$$

Спектры D_i имеют период N_1 . Сигналы d_i определяются с помощью обратного ДПФ,

$$d_i = \mathcal{F}_{N_1}^{-1}(D_i), \quad i = 0, 1, \dots, m - 1. \quad (2.2)$$

Такое определение $\{d_i\}$ равносильно следующему: $d_i(k) = y_i(2k)$, $k \in 0 : N_1 - 1$, где $y_i = \mathcal{F}_N^{-1}(\overline{\tilde{g}_i} X)$.

Фильтры синтеза g_0, g_1, \dots, g_{m-1} из \mathbb{C}_N реконструируют спектр сигнала x по формуле

$$\widehat{X}(k) = \sum_{i=0}^{m-1} g_i(k) D_i(k), \quad k \in 0 : N - 1. \quad (2.3)$$

Сигнал $\widehat{x} = \mathcal{F}_N^{-1}(\widehat{X})$ принимается за восстановленный сигнал x . Если $\widehat{x} = x$, то набор $\{\widetilde{g}_i, g_i \mid i \in 0 : m - 1\}$ называется *банком фильтров совершенной реконструкции*.

2.2. Выведем условие совершенной реконструкции. Запишем формулу (2.3) в виде: при $k \in 0 : N_1 - 1$

$$\begin{aligned} \widehat{X}(k) &= \sum_{i=0}^{m-1} g_i(k) D_i(k), \\ \widehat{X}(k + N_1) &= \sum_{i=0}^{m-1} g_i(k + N_1) D_i(k). \end{aligned} \quad (2.4)$$

Матрицы преобразований (2.1) и (2.4) обозначим $\widetilde{P}(k)$ и $P(k)$ соответственно, так что

$$\widetilde{P}(k) = \frac{1}{2} \begin{bmatrix} \overline{\widetilde{g}_0(k)} & \overline{\widetilde{g}_0(k + N_1)} \\ \overline{\widetilde{g}_1(k)} & \overline{\widetilde{g}_1(k + N_1)} \\ \vdots & \vdots \\ \overline{\widetilde{g}_{m-1}(k)} & \overline{\widetilde{g}_{m-1}(k + N_1)} \end{bmatrix},$$

$$P(k) = \begin{bmatrix} g_0(k) & g_1(k) & \cdots & g_{m-1}(k) \\ g_0(k + N_1) & g_1(k + N_1) & \cdots & g_{m-1}(k + N_1) \end{bmatrix}.$$

Равенство $\widehat{X} = X$, равносильное $\widehat{x} = x$, выполняется тогда и только тогда, когда

$$P(k) \widetilde{P}(k) = \begin{bmatrix} 1 & 0 \\ 0 & 1 \end{bmatrix}, \quad k \in 0 : N_1 - 1. \quad (2.5)$$

3. РАЗЛОЖЕНИЕ СИГНАЛОВ ПО ФРЕЙМУ

3.1. Введём сигналы

$$\psi_i = \mathcal{F}_N^{-1}(g_i), \quad \widetilde{\psi}_i = \mathcal{F}_N^{-1}(\widetilde{g}_i), \quad i \in 0 : m - 1.$$

ПРЕДЛОЖЕНИЕ 1. *Справедливо разложение*

$$\widehat{x}(j) = \sum_{i=0}^{m-1} \sum_{k=0}^{N_1-1} d_i(k) \psi_i(j-2k), \quad j \in \mathbb{Z}, \quad (3.1)$$

где коэффициенты $d_i(k)$ определяются формулой (2.2).

Доказательство. Обозначим $x_i = \mathcal{F}_N^{-1}(g_i D_i)$. Тогда

$$\widehat{x} = x_0 + x_1 + \cdots + x_{m-1}.$$

По определению \mathcal{F}_N^{-1} имеем

$$x_i(j) = \frac{1}{N} \sum_{l=0}^{N-1} g_i(l) D_i(l) \omega_N^{lj}.$$

Поскольку $D_i(l) = \sum_{k=0}^{N_1-1} d_i(k) \omega_{N_1}^{-lk}$ и $\omega_{N_1}^{-lk} = \omega_N^{-2lk}$, то

$$x_i(j) = \sum_{k=0}^{N_1-1} d_i(k) \left\{ \frac{1}{N} \sum_{l=0}^{N-1} g_i(l) \omega_N^{l(j-2k)} \right\} = \sum_{k=0}^{N_1-1} d_i(k) \psi_i(j-2k).$$

Суммируя по i от 0 до $m-1$, придём к (3.1). □

ПРЕДЛОЖЕНИЕ 2. *Справедливы равенства*

$$d_i(k) = \langle x, \widetilde{\psi}_i(\cdot - 2k) \rangle, \quad i \in 0 : m-1, \quad k \in N_1-1. \quad (3.2)$$

Доказательство. Имеем

$$\begin{aligned} \left[\mathcal{F}_N(\widetilde{\psi}_i(\cdot - 2k)) \right](l) &= \sum_{j=0}^{N-1} \widetilde{\psi}_i(j-2k) \omega_N^{-2(j-2k)-2lk} = \\ &= \omega_N^{-2lk} \sum_{j=0}^{N-1} \widetilde{\psi}_i(j) \omega_N^{-lj} = \omega_{N_1}^{-lk} \widetilde{g}_i(l). \end{aligned}$$

По обобщённому равенству Парсеваля

$$\langle x, \widetilde{\psi}_i(\cdot - 2k) \rangle = \frac{1}{N} \sum_{l=0}^{N-1} X(l) \overline{\widetilde{g}_i(l)} \omega_{N_1}^{lk}. \quad (3.3)$$

Вместе с тем, по определению d_i равны $\mathcal{F}_{N_1}^{-1}(D_i)$, где D_i задаются формулой (2.1), так что

$$\begin{aligned} d_i(k) &= \frac{1}{2N_1} \sum_{l=0}^{N_1-1} \left[\overline{\tilde{g}_i(l)} X(l) + \overline{\tilde{g}_i(l+N_1)} X(l+N_1) \right] \omega_{N_1}^{kl} = \\ &= \frac{1}{N} \sum_{l=0}^{N-1} \overline{\tilde{g}_i(l)} X(l) \omega_{N_1}^{kl}. \end{aligned} \quad (3.4)$$

Из (3.3) и (3.4) следует (3.2). \square

На основании предложений 1 и 2 приходим, в частности, к такому заключению: *при выполнении условия совершенной реконструкции (2.5) любой сигнал $x \in \mathbb{C}_N$ допускает представление*

$$x = \sum_{i=0}^{m-1} \sum_{k=0}^{N_1-1} \langle x, \tilde{\psi}_i(j-2k) \rangle \psi_i(j-2k). \quad (3.5)$$

3.2. Теперь можно ввести пару двойственных фреймов.

ПРЕДЛОЖЕНИЕ 3. *Пусть выполнено условие совершенной реконструкции (2.5). Системы сигналов*

$$\{ \psi_i(j-2k) \mid k \in 0 : N_1-1, i \in 0 : m-1 \}, \quad (3.6)$$

$$\{ \tilde{\psi}_i(j-2k) \mid k \in 0 : N_1-1, i \in 0 : m-1 \} \quad (3.7)$$

являются фреймами в \mathbb{C}_N . Наряду с разложением (3.5) имеет место разложение

$$x = \sum_{i=0}^{m-1} \sum_{k=0}^{N_1-1} \langle x, \psi_i(\cdot-2k) \rangle \tilde{\psi}_i(\cdot-2k), \quad x \in \mathbb{C}_N. \quad (3.8)$$

Фреймы (3.6) и (3.7) называются *двойственными*.

Доказательство. Разберёмся сначала с системой (3.7). Обозначим

$$\tilde{S}(x) = \sum_{i=0}^{m-1} \sum_{k=0}^{N_1-1} |\langle x, \tilde{\psi}_i(\cdot-2k) \rangle|^2.$$

В силу (3.2) и равенства Парсеваля

$$\tilde{S}(x) = \sum_{i=0}^{m-1} \sum_{k=0}^{N_1-1} |d_i(k)|^2 = \frac{1}{N_1} \sum_{i=0}^{m-1} \sum_{k=0}^{N_1-1} |D_i(k)|^2.$$

Введём вектор-столбец $D(k) = (D_0(k), D_1(k), \dots, D_{m-1}(k))^T$. Согласно определению матрицы $\tilde{P}(k)$

$$D(k) = \tilde{P}(k) X_k, \quad k \in 0 : N_1 - 1,$$

где $X_k = (X(k), X(k + N_1))^T$. При этом

$$\|D(k)\|^2 = \langle \tilde{P}(k) X_k, \tilde{P}(k) X_k \rangle = \langle (\tilde{P}(k))^* \tilde{P}(k) X_k, X_k \rangle.$$

Звёздочка означает эрмитово сопряжение.

Из условия совершенной реконструкции (2.5) следует, что $\text{rank } \tilde{P}(k) = 2$ при всех k . Значит, квадратная матрица второго порядка $\tilde{H}(k) = (\tilde{P}(k))^* \tilde{P}(k)$ является эрмитовой и положительно определённой. Пусть $0 < \tilde{\lambda}_1(k) \leq \tilde{\lambda}_2(k)$ её собственные числа. Тогда для величины

$$\tilde{S}(x) = \frac{1}{N_1} \sum_{k=0}^{N_1-1} \|D(k)\|^2 = \frac{1}{N_1} \sum_{k=0}^{N_1-1} \langle \tilde{H}(k) X_k, X_k \rangle$$

справедливы оценки

$$\frac{2}{N} \sum_{k=0}^{N_1-1} \tilde{\lambda}_1(k) \|X_k\|^2 \leq \tilde{S}(x) \leq \frac{2}{N} \sum_{k=0}^{N_1-1} \tilde{\lambda}_2(k) \|X_k\|^2.$$

Положим

$$\tilde{A} = 2 \min_{k \in 0 : N_1-1} \tilde{\lambda}_1(k), \quad \tilde{B} = 2 \max_{k \in 0 : N_1-1} \tilde{\lambda}_2(k)$$

и учтём, что $\frac{1}{N} \sum_{k=0}^{N_1-1} \|X_k\|^2 = \frac{1}{N} \|X\|^2 = \|x\|^2$. Придём к неравенствам

$$\tilde{A} \|x\|^2 \leq \tilde{S}(x) \leq \tilde{B} \|x\|^2.$$

Значит, система (3.7) является фреймом в \mathbb{C}_N с границами \tilde{A} , \tilde{B} .

Утверждение о фреймовости системы (3.6) проверяется аналогично, только нужно поменять местами фильтры анализа и фильтры синтеза.

Итак, пусть теперь $\{g_i\}_{i=0}^{m-1}$ — фильтры анализа, а $\{\tilde{g}_i\}_{i=0}^{m-1}$ — фильтры синтеза. Тогда формула декомпозиции примет вид

$$D(k) = Q(k) X_k, \quad k \in 0 : N_1 - 1,$$

а формула реконструкции запишется так:

$$(\hat{X}(k), \hat{X}(k + N_1))^T = \tilde{Q}(k) D(k), \quad k \in 0 : N_1 - 1.$$

Здесь

$$Q(k) = \frac{1}{2} \begin{bmatrix} \overline{g_0(k)} & \overline{g_0(k + N_1)} \\ \overline{g_1(k)} & \overline{g_1(k + N_1)} \\ \vdots & \vdots \\ \overline{g_{m-1}(k)} & \overline{g_{m-1}(k + N_1)} \end{bmatrix},$$

$$\tilde{Q}(k) = \begin{bmatrix} \tilde{g}_0(k) & \tilde{g}_1(k) & \cdots & \tilde{g}_{m-1}(k) \\ \tilde{g}_0(k + N_1) & \tilde{g}_1(k + N_1) & \cdots & \tilde{g}_{m-1}(k + N_1) \end{bmatrix}.$$

Очевидно, что $Q(k) = \frac{1}{2}(P(k))^*$, $\tilde{Q}(k) = 2(\tilde{P}(k))^*$. Согласно (2.5)

$$\tilde{Q}(k) Q(k) = (\tilde{P}(k))^* (P(k))^* = [P(k) \tilde{P}(k)]^* = \begin{bmatrix} 1 & 0 \\ 0 & 1 \end{bmatrix},$$

т. е. для нового банка фильтров также выполнено условие совершенной реконструкции. Отсюда следует справедливость формулы (3.8).

Аналогично предыдущему величина

$$S(x) = \sum_{i=0}^{m-1} \sum_{k=0}^{N_1-1} |\langle x, \psi_i(\cdot - 2k) \rangle|^2$$

преобразуется к виду

$$S(x) = \frac{1}{N_1} \sum_{k=0}^{N_1-1} \langle H(k) X_k, X_k \rangle,$$

где $H(k) = (Q(k))^* Q(k)$ — эрмитова положительно определённая матрица второго порядка. Пусть $0 < \lambda_1(k) \leq \lambda_2(k)$ её собственные числа. Положив

$$A = 2 \min_{k \in 0:N_1-1} \lambda_1(k), \quad B = 2 \max_{k \in 0:N_1-1} \lambda_2(k),$$

придём к неравенствам

$$A \|x\|^2 \leq S(x) \leq B \|x\|^2.$$

Значит, система (3.6) является фреймом в \mathbb{C}_N с границами A, B .

Предложение доказано. \square

4. ФРЕЙМЫ БАТТЕРВОРТА

4.1. Рассмотрим частный случай теории, полезный для цифровой обработки сигналов. По-прежнему считаем, что N — чётное число, $N = 2N_1$.

Пусть $m = 3$. Фильтры анализа будем традиционно обозначать $\tilde{h}(k)$, $\tilde{g}_1(k)$, $\tilde{g}_2(k)$, а фильтры синтеза — $h(k)$, $g_1(k)$, $g_2(k)$. Условия совершенной реконструкции (2.5) перепишутся в виде

$$h(k)\tilde{h}(k) + g_1(k)\tilde{g}_1(k) + g_2(k)\tilde{g}_2(k) = 2, \quad k \in 0 : N - 1, \quad (4.1)$$

$$h(k)\overline{\tilde{h}(k + N_1)} + g_1(k)\overline{\tilde{g}_1(k + N_1)} + g_2(k)\overline{\tilde{g}_2(k + N_1)} = 0, \quad k \in 0 : N - 1. \quad (4.2)$$

С точки зрения цифровой обработки сигналов желательны фильтры, которые являются дробно-рациональными функциями от ω_N^k . Дробно-рациональные фильтры, удовлетворяющие условиям (4.1) и (4.2), можно построить на основе фильтров Баттерворта.

4.2. Возьмём натуральное число $r \geq 2$ и положим

$$c = \left(\cos \frac{k\pi}{N}\right)^{2r}, \quad s = \left(\sin \frac{k\pi}{N}\right)^{2r},$$

$$h(k) = \tilde{h}(k) = \frac{\sqrt{2}c}{c+s}, \quad g_1(k) = \tilde{g}_1(k) = \frac{\sqrt{2}s}{c+s}.$$

Функция $h(k)$ представляет собой аналог фильтра Баттерворта [6]. Фильтры $g_2(k)$, $\tilde{g}_2(k)$ в силу (4.1) должны удовлетворять соотношению

$$g_2(k)\overline{\tilde{g}_2(k)} = 2 - \frac{2c^2 + 2s^2}{(c+s)^2} = \frac{4cs}{(c+s)^2} = \frac{4}{(c+s)^2} \left(\frac{1}{2} \sin \frac{2k\pi}{N}\right)^{2r}. \quad (4.3)$$

Получили задачу факторизации: разбить правую часть (4.3) на два множителя $g_2(k)$, $\tilde{g}_2(k)$ так, чтобы выполнялось условие (4.2).

Выберем два чётных числа p, q , в сумме равных $2r$, $p + q = 2r$. Положим

$$g_2(k) = \omega_N^k \frac{2}{c+s} \left(\frac{1}{2} \sin \frac{2k\pi}{N}\right)^p, \quad \tilde{g}_2(k) = \omega_N^k \frac{2}{c+s} \left(\frac{1}{2} \sin \frac{2k\pi}{N}\right)^q. \quad (4.4)$$

В этом случае соотношение (4.3) (а значит, и (4.1)) выполняется. Отметим, что в силу чётности q

$$\overline{\tilde{g}_2(k + N_1)} = -\omega_N^{-k} \frac{2}{c+s} \left(\frac{1}{2} \sin \frac{2k\pi}{N}\right)^q.$$

Теперь легко проверить, что и соотношение (4.2) выполняется.

При чётном r выделяется вариант $p = q = r$, когда $g_2(k) = \tilde{g}_2(k)$. Поскольку по условию $h(k) = \tilde{h}(k)$ и $g_1(k) = \tilde{g}_1(k)$, то получаем, что фильтры синтеза полностью совпадают с фильтрами анализа. Это приводит к жёсткому фрейму [7].

4.3. Построенные фильтры являются дробно-рациональными функциями от $z = \omega_N^k$, так как

$$4 \cos^2 \frac{k\pi}{N} = z + 2 + z^{-1}, \quad 4 \sin^2 \frac{k\pi}{N} = -z + 2 - z^{-1}.$$

В случае дробно-рациональных фильтров декомпозицию и реконструкцию сигнала $x \in \mathbb{C}_N$ можно осуществить за $O(N)$ операций. Подробнее об этом в [6].

4.4. Очевидно, что сигналы h и g_1 вещественные и чётные. Поэтому вейвлеты $\varphi = \mathcal{F}_N^{-1}(h)$ и $\psi = \mathcal{F}_N^{-1}(g_1)$ чётные и вещественные (рис. 1).

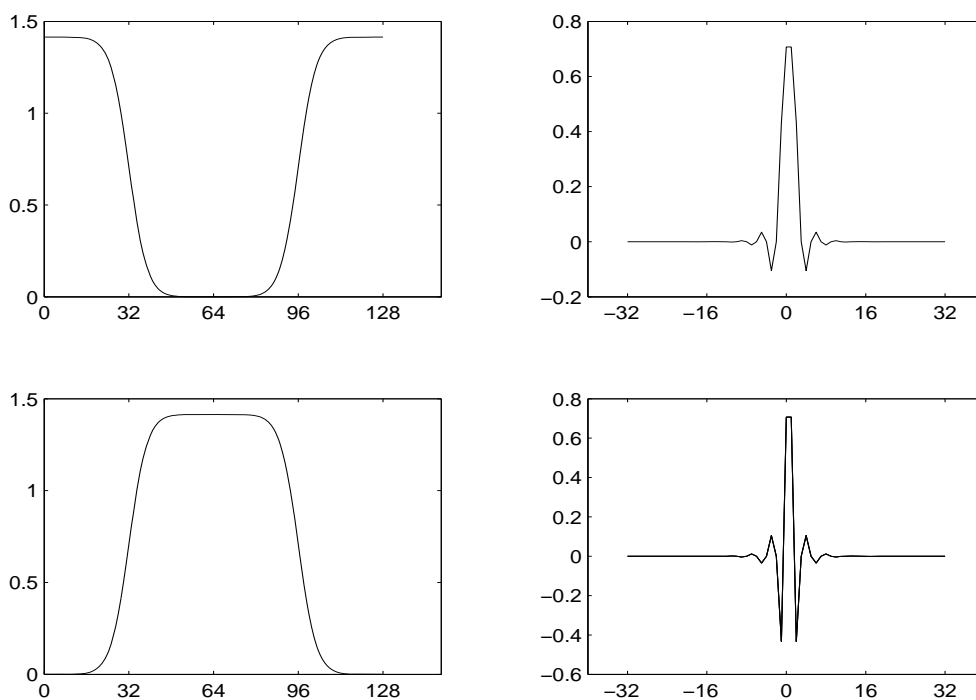


Рис. 1. Фильтры h , g_1 (слева) и соответствующие им вейвлеты φ , ψ (справа) при $r = 3$, $N = 128$.

Сигналы (4.4) являются чётными. Например, для g_2 в силу чётности p имеем

$$g_2(-k) = \omega_N^{-k} \frac{2}{c+s} \left(\frac{1}{2} \sin \frac{2k\pi}{N} \right)^p = \overline{g_2(k)}.$$

Как следствие, вейвлеты $\theta = \mathcal{F}_N^{-1}(g_2)$ и $\tilde{\theta} = \mathcal{F}_N^{-1}(\tilde{g}_2)$ будут вещественными.

Рассмотрим вопрос о симметричности вейвлетов $\theta(j)$ и $\tilde{\theta}(j)$. Фильтр

$$\widehat{g}_p(k) = \frac{2}{c+s} \left(\frac{1}{2} \sin \frac{2k\pi}{N} \right)^p$$

при чётном p вещественный и чётный. Поэтому соответствующий вейвлет $\theta_p = \mathcal{F}_N^{-1}(\widehat{g}_p)$ — чётный и вещественный.

Наличие множителя ω_N^k приводит к сдвигу на одну позицию. Для вейвлетов $\theta(j)$ и $\tilde{\theta}(j)$ имеем

$$\theta(j) = \theta_p(j+1), \quad \tilde{\theta}(j) = \theta_q(j+1).$$

Эти вейвлеты вещественны и имеют ось симметрии $j = -1$.

На рис. 2 приведены графики фильтра \widehat{g}_p и соответствующего вейвлета θ_p при $r = 3$, $p = 4$ и $N = 128$.

Отметим, что фильтр $\widehat{g}_p(k)$ при чётном p имеет период N_1 .

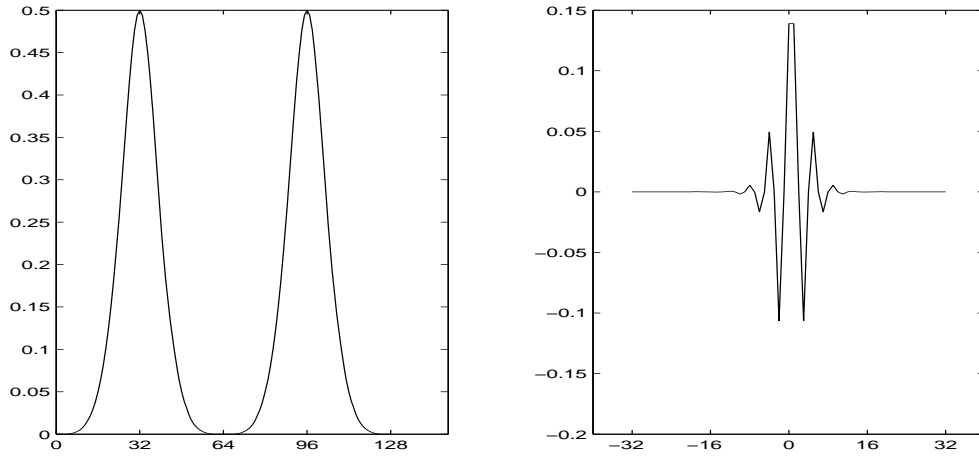


Рис. 2. Фильтр \widehat{g}_p (слева) и вейвлет θ_p (справа) при $r = 3$, $p = 4$ и $N = 128$.

4.5. Согласно (3.5) для любого сигнала $x \in \mathbb{C}_N$ справедливо разложение

$$x = \sum_{k=0}^{N_1-1} \langle x, \varphi(\cdot - 2k) \rangle \varphi(\cdot - 2k) + \sum_{k=0}^{N_1-1} \langle x, \psi(\cdot - 2k) \rangle \psi(\cdot - 2k) + \sum_{k=0}^{N_1-1} \langle x, \tilde{\theta}(\cdot - 2k) \rangle \theta(\cdot - 2k),$$

а также аналогичное разложение, в котором θ и $\tilde{\theta}$ меняются местами.

По аналогии с вейвлетным преобразованием сигналов фреймовое преобразование может быть распространено на более грубые уровни разрешения. Это достигается путём итеративного применения описанного выше преобразования к низкочастотному блоку коэффициентов, начиная с $d_0(k) = \langle x, \varphi(\cdot - 2k) \rangle$, $k \in 0 : N_1 - 1$. В результате придём к многоуровневому разложению сигнала.

4.6. При каждом выборе чётных натуральных чисел $p, q, p + q = 2r$, получаются исходный фрейм $\{\varphi, \psi, \theta\}$ и двойственный фрейм $\{\varphi, \psi, \tilde{\theta}\}$. Можно точно вычислить границы этих фреймов. Пусть для определённости $p \geq q$. Тогда $p \geq r \geq q$. Дополнительно будем предполагать, что $N_2 = N/4$ — целое число.

ПРЕДЛОЖЕНИЕ 4. *Величины*

$$A = 2^{2r-2p}, \quad B = 1 \quad \text{и} \quad \tilde{A} = 1, \quad \tilde{B} = 2^{2r-2q} \quad (4.5)$$

являются границами фреймов $\{\varphi, \psi, \theta\}$ и $\{\varphi, \psi, \tilde{\theta}\}$ соответственно.

Доказательство. Для фрейма $\{\varphi, \psi, \theta\}$ имеем

$$\begin{aligned} H(k) &= \frac{1}{4} \begin{bmatrix} h(k) & g_1(k) & g_2(k) \\ h(k + N_1) & g_1(k + N_1) & g_2(k + N_1) \end{bmatrix} \begin{bmatrix} \overline{h(k)} & \overline{h(k + N_1)} \\ \overline{g_1(k)} & \overline{g_1(k + N_1)} \\ \overline{g_2(k)} & \overline{g_2(k + N_1)} \end{bmatrix} = \\ &= \begin{bmatrix} a(k) & b(k) \\ b(k) & a(k) \end{bmatrix}, \end{aligned}$$

где

$$\begin{aligned} a(k) &= \frac{1}{4} \left[|h(k)|^2 + |g_1(k)|^2 + |g_2(k)|^2 \right] = \frac{c^2 + s^2 + 2\left(\frac{1}{2} \sin \frac{2k\pi}{N}\right)^{2p}}{2(c + s)^2}, \\ b(k) &= \frac{1}{4} \left[h(k) \overline{h(k + N_1)} + g_1(k) \overline{g_1(k + N_1)} + g_2(k) \overline{g_2(k + N_1)} \right] = \\ &= \frac{c s - \left(\frac{1}{2} \sin \frac{2k\pi}{N}\right)^{2p}}{(c + s)^2}. \end{aligned}$$

Поскольку $c s = \left(\cos \frac{k\pi}{N} \sin \frac{k\pi}{N}\right)^{2r} = \left(\frac{1}{2} \sin \frac{2k\pi}{N}\right)^{2r}$, то

$$b(k) = \frac{\left(\frac{1}{4} \sin^2 \frac{2k\pi}{N}\right)^r - \left(\frac{1}{4} \sin^2 \frac{2k\pi}{N}\right)^p}{\left(\left(\cos^2 \frac{k\pi}{N}\right)^r + \left(\sin^2 \frac{k\pi}{N}\right)^r\right)^2}. \quad (4.6)$$

По условию $p \geq r$, так что $b(k) \geq 0$. Очевидно, что $a(k) > 0$.

Собственными числами матрицы $H(k)$ являются

$$\lambda_1(k) = a(k) - b(k), \quad \lambda_2(k) = a(k) + b(k).$$

Принимая во внимание тождество $a(k) + b(k) \equiv \frac{1}{2}$, получаем

$$B := 2 \max_{k \in 0:N_1-1} \lambda_2(k) = 1.$$

Далее,

$$\lambda_1(k) = (a(k) + b(k)) - 2b(k) = \frac{1}{2} - 2b(k). \quad (4.7)$$

Значит, минимизация $\lambda_1(k)$ сводится к максимизации N_1 -периодической функции $b(k)$ при $p \geq r$. Покажем, что

$$\max_{k \in 0:N_1-1} b(k) = \frac{1}{4}(1 - 2^{2r-2p}). \quad (4.8)$$

При $p = r$ это очевидно (см. (4.6)). Будем считать, что $p > r$.

Рассмотрим функцию $u(t) = t^r - t^p$. Её производная $u'(t) = t^{r-1}(r - pt^{p-r})$ имеет единственный положительный корень $t_0 = (r/p)^{1/(p-r)}$ и положительна на $(0, t_0)$. Нас интересует $u(t)$ на отрезке $[0, \frac{1}{4}]$. Проверим, что $\frac{1}{4} < t_0$. Отсюда будет следовать, что $u(t)$ на $[0, \frac{1}{4}]$ строго возрастает.

Неравенство $t_0 > \frac{1}{4}$ равносильно следующему

$$r \left(\frac{1}{4}\right)^r > p \left(\frac{1}{4}\right)^p. \quad (4.9)$$

Функция $\xi(t) = t \left(\frac{1}{4}\right)^t$ имеет производную $\xi'(t) = \xi(t) \left(\frac{1}{t} - \ln 4\right)$, которая отрицательна при $t \geq 1$. Это гарантирует справедливость неравенства (4.9). Установлено, в частности, что $u(t)$ достигает максимального значения на $[0, \frac{1}{4}]$ в единственной точке $t = \frac{1}{4}$.

Согласно (4.6) числитель дроби $b(k)$ равен $u\left(\frac{1}{4} \sin^2 \frac{2k\pi}{N}\right)$. По доказанному он достигает наибольшего значения на $0 : N_1 - 1$ только при $k = N_2 = N_1/2$. Как мы сейчас выясним, на этом же индексе достигается наименьшее значение знаменателя дроби $b(k)$. Отсюда будет следовать, что $k = N_2$ — единственный индекс из $0 : N_1 - 1$, на котором достигается максимум самой дроби $b(k)$.

Рассмотрим функцию $v(t) = ((1-t)^r + t^r)^2$. Её производная

$$v'(t) = 2r((1-t)^r + t^r)(-(1-t)^{r-1} + t^{r-1})$$

обращается в ноль при $t = \frac{1}{2}$, отрицательна на $[0, \frac{1}{2})$ и положительна на $(\frac{1}{2}, 1]$. Значит, $v(t)$ достигает наименьшего значения на $[0, 1]$ в единственной точке $t = \frac{1}{2}$. Знаменатель дроби $b(k)$ равен $v\left(\sin^2 \frac{2k\pi}{N}\right)$. Он достигает наименьшего значения на $0 : N_1 - 1$ только при $k = N_2$.

Доказано, что максимум дроби $b(k)$ на $0 : N_1 - 1$ достигается на единственном индексе $k = N_2$. При этом

$$b(N_2) = \frac{2^{-2r} - 2^{-2p}}{2^{-2r+2}} = \frac{1}{4}(1 - 2^{2r-2p}).$$

Соотношение (4.8) установлено.

На основании (4.7) и (4.8) получаем

$$A = 2 \min_{k \in 0:N_1-1} \lambda_1(k) = 1 - 4 \max_{k \in 0:N_1-1} b(k) = 2^{2r-2p}.$$

Границы фрейма $\{\varphi, \psi, \theta\}$ вычислены.

Обратимся к двойственному фрейму $\{\varphi, \psi, \tilde{\theta}\}$. Вычисление его границ проводится по той же схеме с заменой p на q . Отличие заключается в том, что вместо неравенства $p \geq r$ выполняется неравенство $q \leq r$.

Собственными числами матрицы $\tilde{H}(k)$ являются

$$\tilde{\lambda}_1(k) = \tilde{a}(k) + \tilde{b}(k), \quad \tilde{\lambda}_2(k) = \tilde{a}(k) - \tilde{b}(k),$$

где

$$\begin{aligned} \tilde{a}(k) &= \frac{c^2 + s^2 + 2\left(\frac{1}{2} \sin \frac{2k\pi}{N}\right)^{2q}}{2(c+s)^2}, \\ \tilde{b}(k) &= \frac{cs - \left(\frac{1}{2} \sin \frac{2k\pi}{N}\right)^{2q}}{(c+s)^2} = -\frac{\left(\frac{1}{2} \sin^2 \frac{2k\pi}{N}\right)^{2q} - \left(\frac{1}{2} \sin^2 \frac{2k\pi}{N}\right)^{2r}}{\left(\left(\cos^2 \frac{k\pi}{N}\right)^r + \left(\sin^2 \frac{k\pi}{N}\right)^r\right)^2}. \end{aligned}$$

Очевидно, что $b(k) \leq 0$. Поскольку $\tilde{a}(k) + \tilde{b}(k) \equiv \frac{1}{2}$, то

$$\tilde{A} = 2 \min_{k \in 0:N_1-1} \tilde{\lambda}_2(k) = 1.$$

Далее,

$$\tilde{\lambda}_2(k) = (\tilde{a}(k) + \tilde{b}(k)) - 2\tilde{b}(k) = \frac{1}{2} + 2(-\tilde{b}(k)).$$

Аналогично (4.8)

$$\max_{k \in 0:N_1-1} \{-b(k)\} = \frac{1}{4}(2^{2r-2q} - 1).$$

Поэтому

$$\tilde{B} = 2 \max_{k \in 0:N_1-1} \tilde{\lambda}_2(k) = 1 + 4 \max_{k \in 0:N_1-1} \{-b(k)\} = 2^{2r-2q}.$$

Предложение доказано. \square

Отметим, что согласно (4.5) и равенству $p + q = 2r$ границы двойственных фреймов Баттерворта связаны соотношениями

$$\tilde{A} = 1/B, \quad \tilde{B} = 1/A.$$

ЛИТЕРАТУРА

1. Добеши И. *Десять лекций по вейвлетам*. Пер. с англ. Ижевск: НИЦ «Регулярная и хаотическая динамика», 2001. 464 с.
2. Новиков И. Я., Стечкин С. Б. *Основы теории всплесков* // Успехи матем. наук. 1998. Т. 53. Вып. 6 (324). С. 53–128.
3. Svetković Z., Vetterli M. *Oversampled filter banks* // IEEE Trans. Sign. Proc. 1998. V. 46. No. 5. P. 1245–1255.
4. Averbuch A. Z., Zheludev V. A., Cohen T. *Interpolatory frames in signal spaces* // IEEE Trans. Sign. Proc. 2006. V. 54. No. 6. P. 2126–2139.
5. Малозёмов В. Н., Машарский С. М. *Основы дискретного гармонического анализа*. Части 1–3. СПб.: НИИММ, 2003. 288 с.
6. Жёлудев В. А., Певный А. Б. *Вейвлетное преобразование Баттерворта и его реализация с помощью рекурсивных фильтров* // Журн. выч. мат. и матем. физ. 2002. Т. 42. № 4. С. 607–618.
7. Жёлудев В. А., Певный А. Б. *Дискретные периодические фреймы* // Вестн. Сыктывкарского ун-та. Сер. 1. 2006. Вып. 6. С. 87–94.